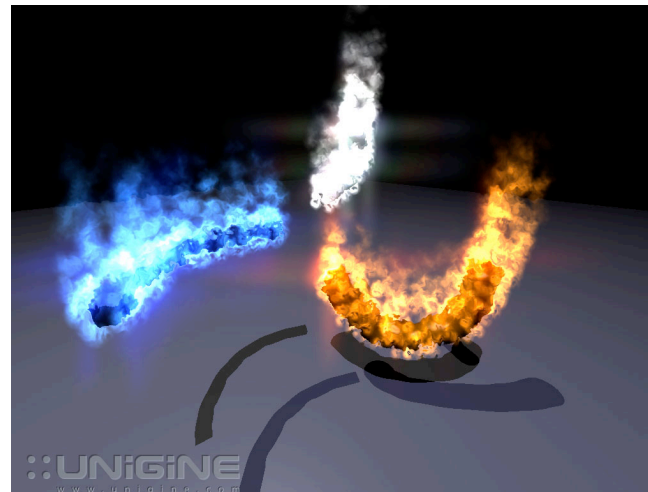


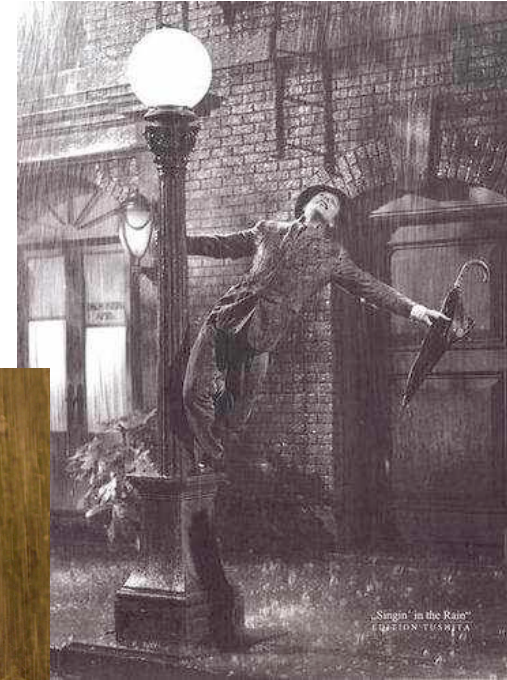
Virtuelle Realität Partikelsysteme



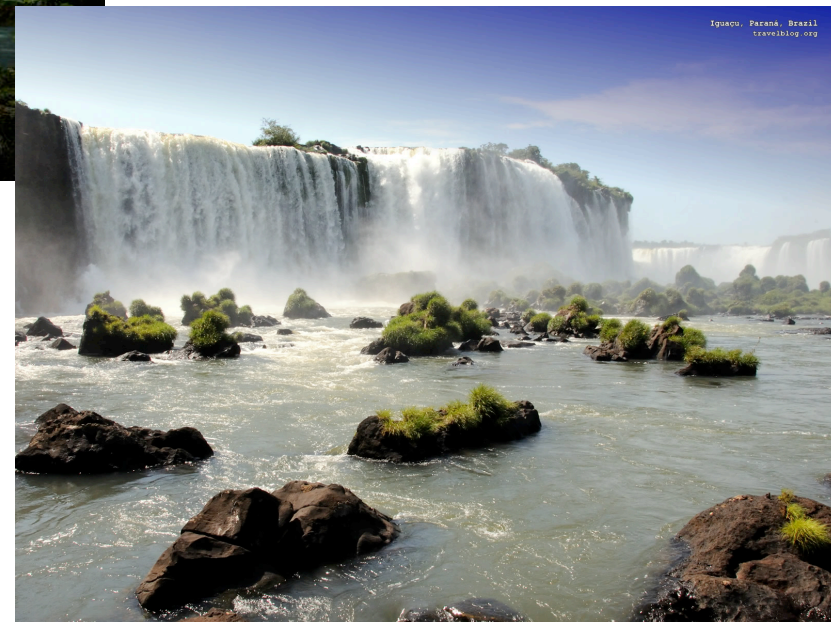
G. Zachmann
Clausthal University, Germany
cg.in.tu-clausthal.de



Modellierung/Simulation/Rendering natürlicher Phänomene













Dynamik eines Massenpunktes

- Definition **Partikel**:

Ein Partikel ist ein ideeller Punkt mit einer Masse m und einer Geschwindigkeit \mathbf{v} .

→ Die Orientierung ist irrelevant

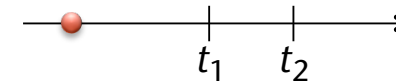
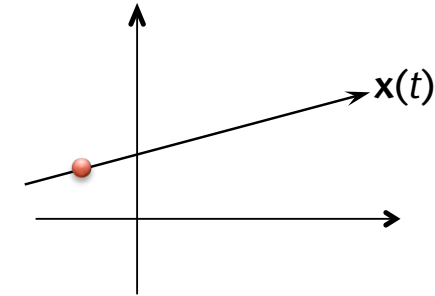
- Bahn eines Partikels: $\mathbf{x}(t)$

- Geschwindigkeit:

$$\mathbf{v} = \frac{\text{Weg}}{\text{Zeit}} = \frac{\mathbf{x}(t_2) - \mathbf{x}(t_1)}{t_2 - t_1}$$

- Einheit: m/s

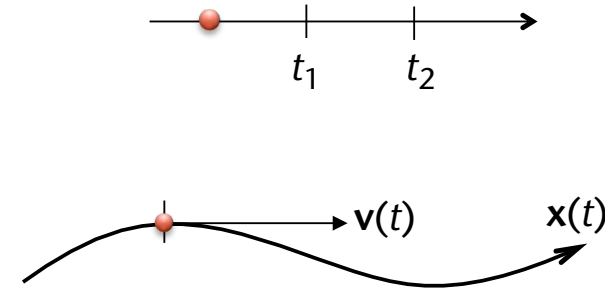
- Beachte: Geschwindigkeit = Vektor — Ort des Partikels = Punkt!





■ Momentangeschwindigkeit:

$$\begin{aligned}\mathbf{v}(t_1) &= \lim_{t_2 \rightarrow t_1} \frac{x(t_2) - x(t_1)}{t_2 - t_1} \\ &= \frac{d}{dt}x(t_1) = \dot{\mathbf{x}}(t_1)\end{aligned}$$



■ Beispiele:

- Punkt bewegt sich auf Kreisbahn: $|\dot{\mathbf{x}}|$ ist konstant
- Punkt beschleunigt auf Gerade: $\frac{\dot{\mathbf{x}}}{|\dot{\mathbf{x}}|}$ ist konstant

■ Beschleunigung :

$$\mathbf{a}(t) = \frac{d}{dt}\mathbf{v}(t) = \dot{\mathbf{v}}(t) = \frac{\mathbf{F}(t)}{m}$$

└──────────┬──────────┘
Newtons 2. Gesetz



Euler-Integration

- Gegeben: ein Partikel der Masse m ; eine Kraft $\mathbf{F}(t)$, die auf das Partikel über die Zeit wirkt
- Gesucht: die Bahn $\mathbf{x}(t)$ des Partikels

- Analytischer Ansatz:

$$\mathbf{v}(t) = \mathbf{v}_0 + \int_{t_0}^t \mathbf{a}(t) dt$$

$$\mathbf{x}_0(t) = \mathbf{x}_0 + \int_{t_0}^t \mathbf{v}(t) dt$$

- Diskretisieren und Linearisieren:

$$v^{t+1} = v^t + a^t \cdot \Delta t$$

$$x^{t+1} = x^t + v^t \cdot \Delta t$$

oder

$$x^{t+1} = x^t + \frac{v^t + v^{t+1}}{2} \Delta t \quad (\text{approx. midpoint method})$$



Der Phasenraum

- Der (physikalische) momentane Zustand eines Partikels ist **vollständig** beschrieben durch

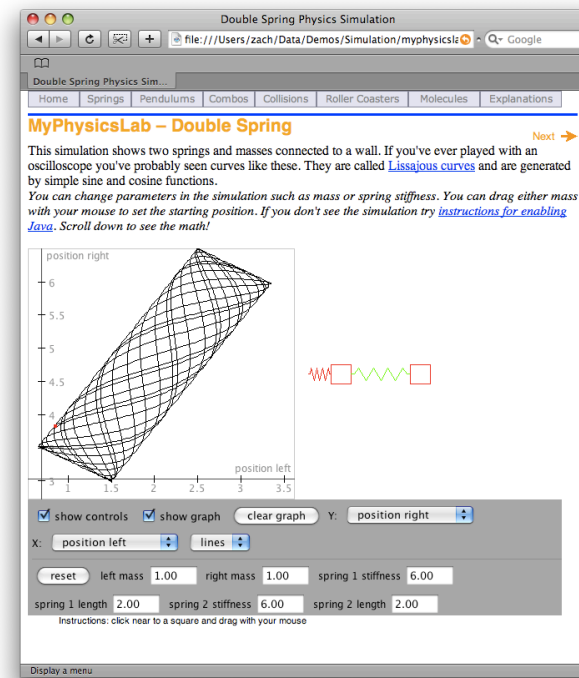
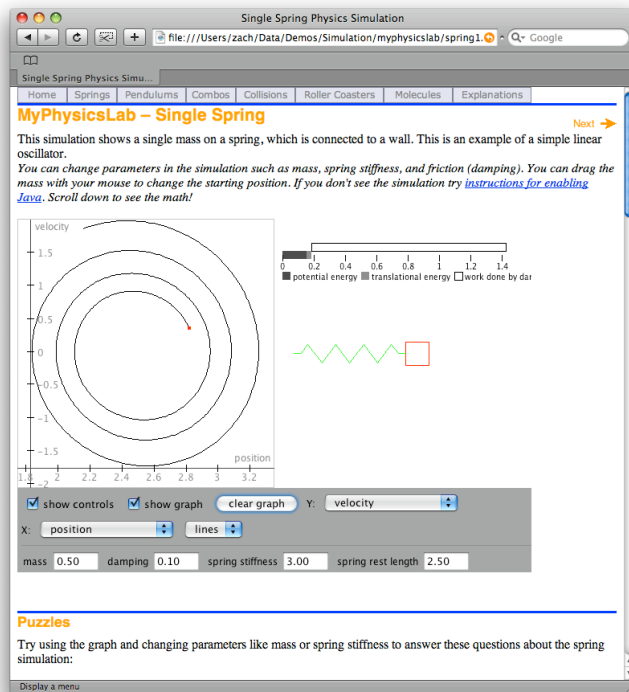
$$\begin{aligned}\mathbf{q} &= (\mathbf{x}, \mathbf{v}) = (x_1, x_2, x_3, v_1, v_2, v_3) \\ &= (x_1, x_2, x_3, \dot{x}_1, \dot{x}_2, \dot{x}_3) \in \mathbb{R}^6\end{aligned}$$

- Der Raum aller möglicher Zustände heißt **Phasenraum** (*phase space*)
- Die Dimension ist $6n$, $n = \text{Anzahl Partikel}$
- Bewegungsgleichungen im Phasenraum:

$$\dot{\mathbf{q}} = (\dot{x}_1, \dot{x}_2, \dot{x}_3, \dot{v}_1, \dot{v}_2, \dot{v}_3) = \left(v_1, v_2, v_3, \frac{\mathbf{F}_1}{m}, \frac{\mathbf{F}_2}{m}, \frac{\mathbf{F}_3}{m} \right)$$



- Beispiel für ein Partikel, das sich nur auf der x-Achse bewegen kann und durch eine Feder in einer Ruhelage gehalten wird:



www.myphysicslab.com



Kinematik versus Dynamik

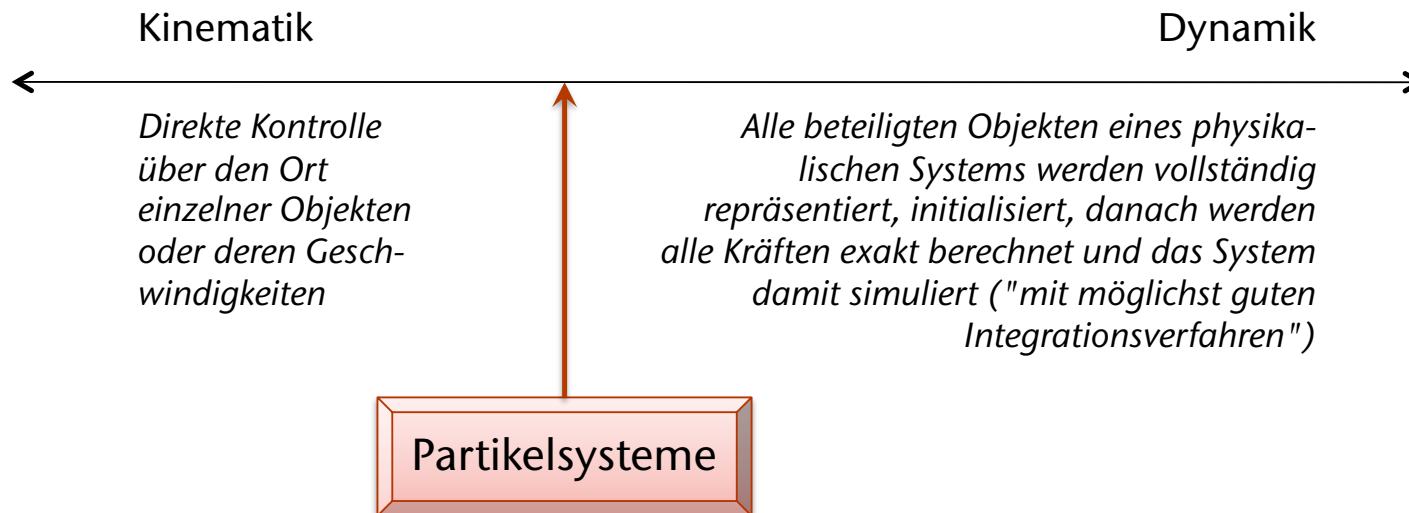


- Begriffe:

Kinematik = Bewegung von Körpern **ohne** Simulation von Kräften

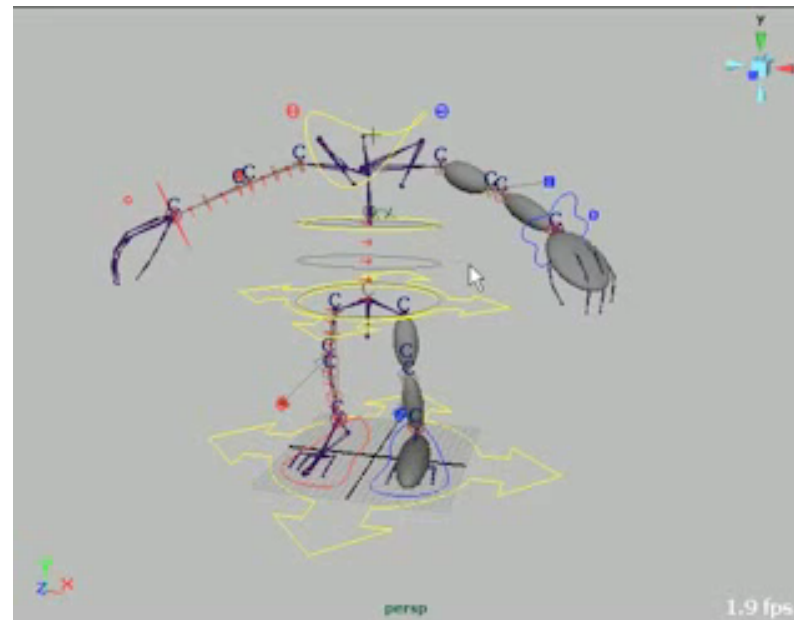
Dynamik = Simulation / Berechnung von Kräften und die daraus resultierende Bewegungen der Objekte

- In der Computergraphik bewegt man sich in einem Kontinuum:





- Beispiel für reine Kinematik: inverse Kinematik





Partikelsysteme



- Definition: Ein **Partikelsystem** besteht aus
 1. Einer Menge von **Partikeln**; jedes Partikel i hat (mindestens) folgende Attribute:
 - Masse m_i
 - Position \mathbf{x}_i
 - Geschwindigkeit \mathbf{v}_i
 - Alter a_i
 - Kräfteakkumulator \mathbf{F}_i
 - und eventuell weitere, wie z.B. Farbe, Transparenz, Optische Größe, Lebensdauer, Typ/Art ... einer Menge
 2. Einer Menge **Partikelquellen**; jeder ist beschrieben durch
 - Form der Partikelquelle
 - Stochastische Prozesse, die die initialen Attribute der Partikel festlegen (Geschwindigkeit, Richtung, etc.)
 - Stochastische Prozesse, die die Anzahl der erzeugten Partikel pro Frame festlegen
 3. Weitere (globale) **Parameter**, z.B.
 - TTL (time to live) = max. Lebensdauer eines Partikels
 - Globale Kräfte (z.B. Gravitation, Wind, ...)
 - **die Algorithmen**, die die Partikel bewegen und rendern



- Stochastischer Prozeß =
 - Im einfachsten Fall Mittelwert + Varianz; Prozeß liefert zufälligen Wert gemäß Gleichverteilung
 - Etwas komplizierter: Mittelwert und Varianz sind Funktionen der Zeit

- Form der Partikelquelle:
 - Ist intuitive Art, den stochastischen Prozess für die initiale Position von Partikeln zu beschreiben
 - Häufig: Kreisscheibe, Würfel, Kegel, etc.



Das Execution Model



- Der Ablauf eines Partikelsystems:

```
loop forever:  
  rendere alle Partikel  
   $\Delta t :=$  Rendering-Zeit  
  kille alle Partikel mit Alter > Lebensdauer  
  erzeuge neue Partikel an der Quelle  
  lösche alle Kräfteakkumulatoren  
  berechne alle Kräfte auf jedes Partikel (akkumuliere diese)  
  aktualisiere Geschwindigkeit (ein Eulerschritt mit  $\Delta t$ )  
  modifiziere gegebenenfalls Geschwindigkeiten (*)  
  aktualisiere Positionen (ein weiterer Eulerschritt)  
  modifiziere eventuell Positionen (z.B. wg. Constraints)  
  sortiere Partikel nach Tiefe (für Alpha-Rendering)
```




Bemerkungen

- Hier gibt es viel Raum für Optimierungen, z. B.
 - Gravitationskraft gleich beim Löschen des F-Akkumulators setzen
 - Nicht bei jedem Partikel händisch das Alter inkrementieren sondern Zeit t_{gen} der Entstehung speichern, dann nur noch $t_{\text{current}} - t_{\text{gen}} > \text{TTL}$ testen
 - Wird später bei paralleler Implementierung wichtig
- Zu (*) im Algorithmus:
 - Ist "un-physikalisch", erlaubt aber bessere kinematische Kontrolle durch den Programmierer / Animator
 - Ist auch bei Kollisionen nötig
- Der Rest ist Intuition und Kreativität ...
- Oft speichert man eine kleine Historie der Positionen der Partikel, um einen einfachen "motion blur"-Effekt zu erhalten
- Partikel können auch auf Grund anderer Bedingungen gekillt werden, z.B. Entfernung von der Quelle, Eintritt in einer bestimmter Region, etc.
- Achtung, für eine effiziente Implementierung kann eine "Struct-of-Array"-Datenstruktur besser sein! (SoA statt AoS)



Beispiel eines Partikelsystems

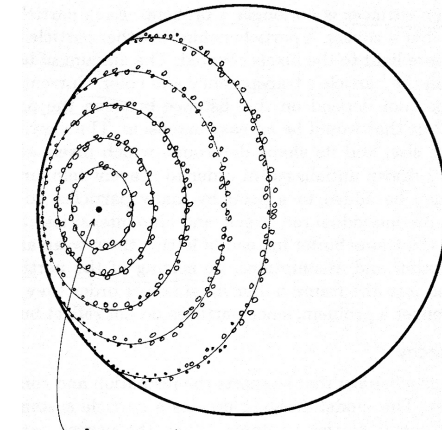
- Ausschnitt aus "Wrath of Khan":



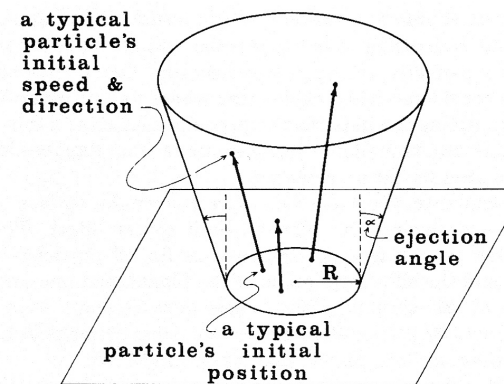
(William Reeves, 1984)



- Partikelquelle = Kreis auf der Kugel um den *impact point*, der sich vergrößert



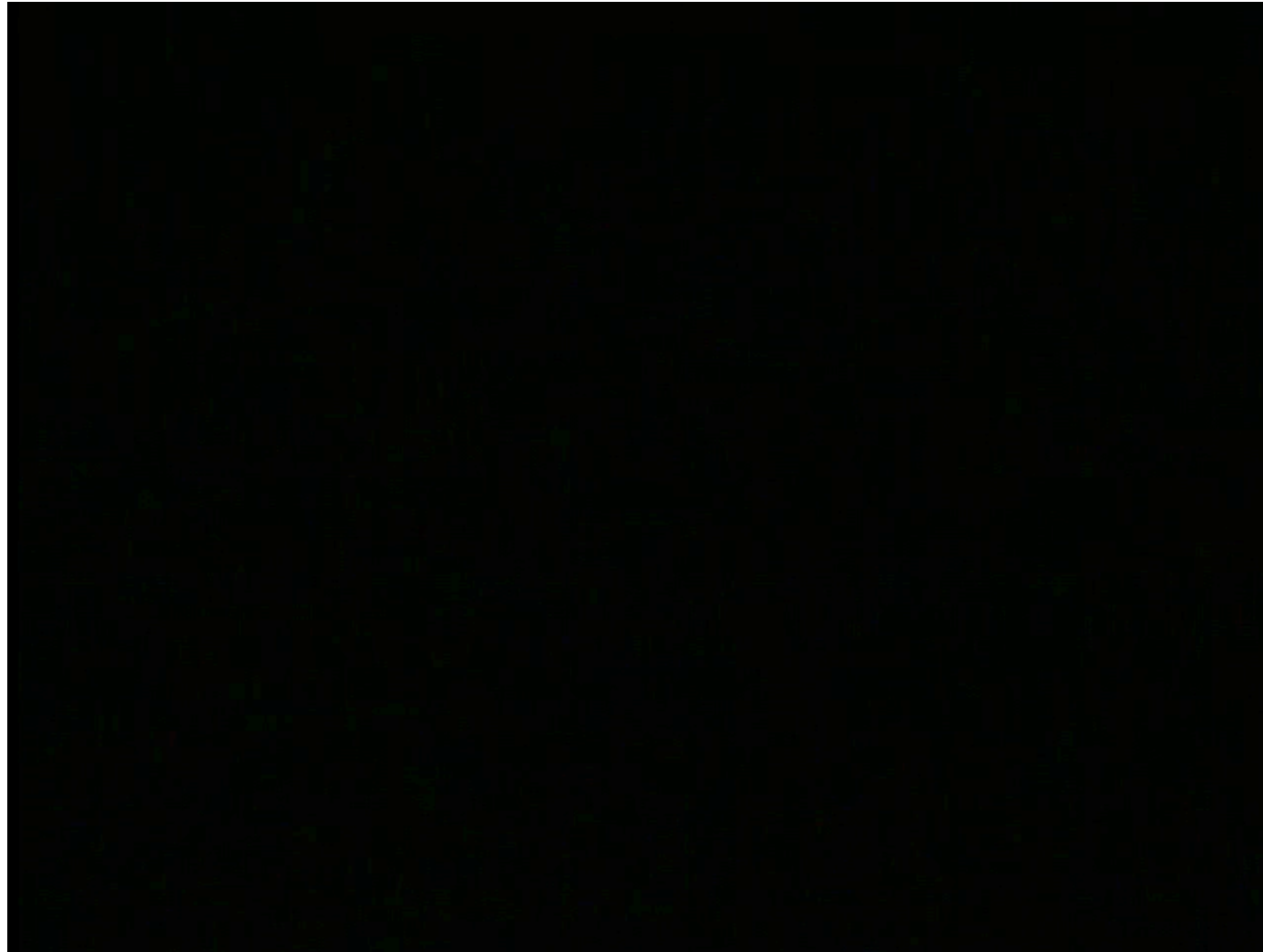
- Stochastische Prozesse für Partikelgenerierung:
 - Kegelstumpf senkrecht zu Kugeloberfläche
 - Varianz für Lebensdauer



- Farbe = $f(\text{Alter})$



Exkurs: die Panspermie-Hypothese



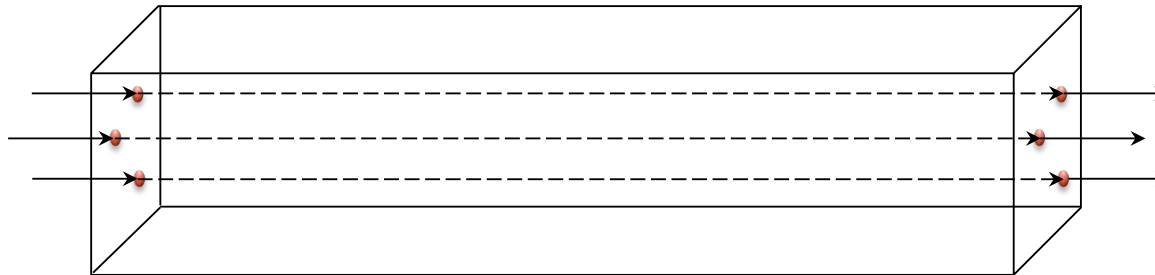
Karl Sims, 1990





Operation auf Partikeln

- Positionsoperationen:
 - Eher selten
 - z.B. "Tunneln"

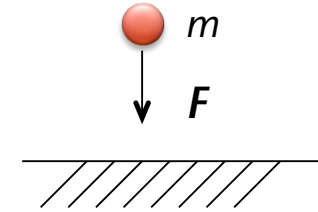




Physikalische Effekte

- Schwerkraft:

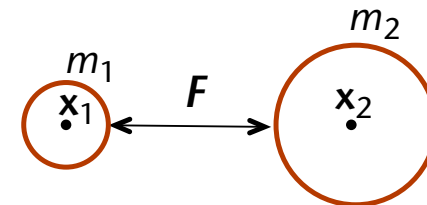
$$\mathbf{F} = m \cdot \mathbf{g} \quad , \quad g = 9.81 \frac{\text{m}}{\text{s}^2}$$



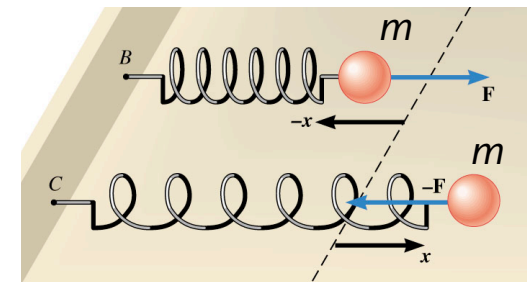
- Gravitation:

$$\mathbf{F} = G \cdot \frac{m_1 m_2}{r^2} \cdot \frac{\mathbf{x}_1 - \mathbf{x}_2}{|\mathbf{x}_1 - \mathbf{x}_2|}$$

$$G = 6,67 \cdot 10^{-11}$$



- Federkraft: später





- Viskose Hemmung/Dämpfung (viscous drag):

$$\mathbf{F} = -b \mathbf{v}$$

in einem ruhenden Fluid/Gas;

oder auch

$$\mathbf{F} = 6\pi\eta r(\mathbf{v} - \mathbf{v}_{fl})$$

bei Fluid mit Geschwindigkeit \mathbf{v}_{fl} , Partikel mit Radius r , Viskosität η ;

oder auch

$$\mathbf{F} = -\frac{1}{2}c\rho A\mathbf{v}^2$$

bei hoher Geschwindigkeit; ρ = Dichte, A = Querschnittfläche des Körpers, c = Viskositätskonstante



- Elektromagnetische Kraft (Lorentz-Kraft):

$$\mathbf{F} = q \cdot \mathbf{v} \times \mathbf{B}$$

wobei q die Ladung des Partikels, \mathbf{v} dessen Geschwindigkeit, und \mathbf{B} das magnetische Feld ist.

The thumbnail features a film strip icon on the left. To its right, the title 'Faraday'sches Horn' is displayed in a bold, black font. Below the title, two red rounded rectangular boxes contain the text 'Dauer: 45s' and 'Inhalt: Lorentzkraft'. At the bottom left, there is a logo for 'Fakultät für Physik eLearning'. To the right of the logo, the text 'Produziert im Rahmen des eLearnPhysik Projektes' is written in a smaller font.

https://elearning.mat.univie.ac.at/physikwiki/index.php/LV002:LV-Uebersicht/Videos/Lorentzkraft_1



Nicht-physikalische Effekte

- **Strudel (vortex)**: rotiere Position eines Partikels um Achse **R** und Winkel

$$\theta = a \cdot f(r)$$

wobei a = "Stärke" des Vortex,
 r = Abstand Partikel – Achse, und

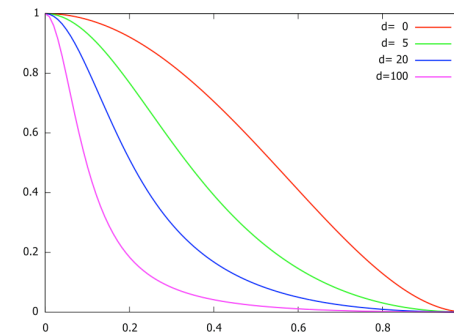
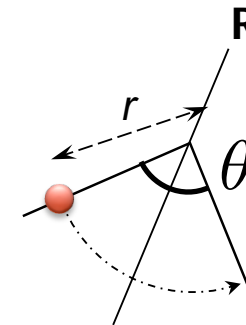
$$f(r) = \frac{1}{r^\alpha}$$

oder

$$f(r) = \begin{cases} \frac{r^4 - 2r^2 + 1}{1 + dr^2} & , r \leq 1 \\ 0 & , r > 1 \end{cases}$$

- Erweiterungen:

- Masse des Partikels einbeziehen
- B-Spline als Achse des Vortex (für Tornados z.B.)
- Achse des Vortex animieren





■ Winkel:

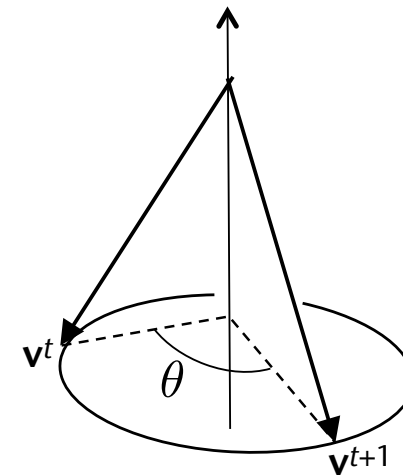
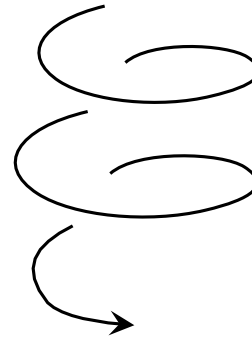
- Oftmals bewegt sich jedes einzelne Partikel auf einer spiralförmigen Bahn (z.B. in Feuer, oder Schneeflocken)

- Idee:

Rotiere \mathbf{v} um eine Achse mit Winkel

$$\theta = \sigma \cdot \Delta t$$

- σ kann wieder leicht zufällig variieren, ebenso die Achse
- Die Achse und σ können über die Zeit animiert werden





Kollisionen

- Die wichtigste Form von geometrischen Constraints
- Zunächst: Kollision mit einer Ebene
- Test:

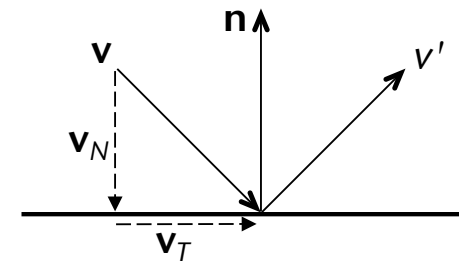
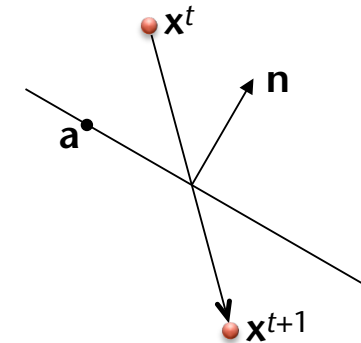
$$(\mathbf{x}^t - \mathbf{a}) \cdot \mathbf{n} > 0 \quad \wedge \quad (\mathbf{x}^{t+1} - \mathbf{a}) \cdot \mathbf{n} < 0$$

- Koll.-Behandlung: reflektiere \mathbf{v}

$$\mathbf{v}_N = (\mathbf{v} \cdot \mathbf{n}) \mathbf{n}$$

$$\mathbf{v}_T = \mathbf{v} - \mathbf{v}_N$$

$$\mathbf{v}' = \mathbf{v}_T - \mathbf{v}_N = \mathbf{v} - 2(\mathbf{v} \cdot \mathbf{n}) \mathbf{n}$$



- Erweiterung um Reibung und elastischer/inelastischer Stoß:

$$\mathbf{v}' = (1 - \mu) \mathbf{v}_T - \varepsilon \mathbf{v}_N$$

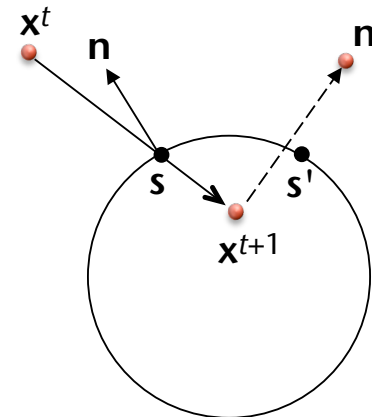
mit μ = Reibungskoeffizient (friction parameter) und

ε = Federung / Elastizität (resilience)



- Fazit: Kollisionserkennung für Partikel = "Punkt-in-Geometrie-Test" bzw. Schnitttest zwischen Geradensegment und Geometrie

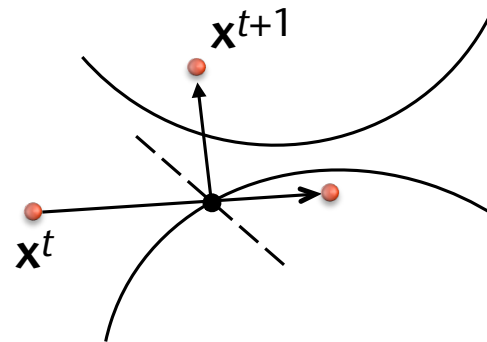
- Analog für Kugeln:
 - Exakten Schnittpunkt s und Normale \mathbf{n} bestimmen
 - Dann weiter wie eben



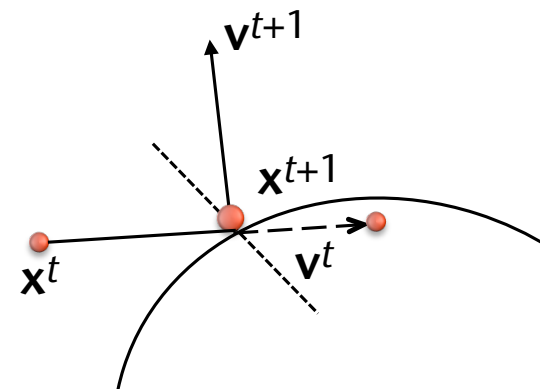
- Für Polyeder und implizite Flächen: siehe CG1
- Für Höhenfeld (Terrain): siehe CG2 (Raytracing)



- Achtung: stelle konsistenten Zustand nach der Kollisionsbehandlung her!
 - Problem: "Doppelkollisionen" an engen Stellen
 - Beispiel:



- Korrekte Behandlung:



- Gibt noch weitere Möglichkeiten



Hierarchische Partikelsysteme



- Idee:
 - Ein Partikel ist seinerseits wieder ein Partikelsystem
 - Transformation des Vater-“Partikels” wirkt sich auf dessen Kind-Partikel aus (analog zu Scenengraph)

- Second-Order-Partikelsysteme:
 - Auch alle Kräfte werden durch Partikel repräsentiert
 - Diese können wechselwirken, werden an Partikelquellen geboren, sterben, etc.



Rendering

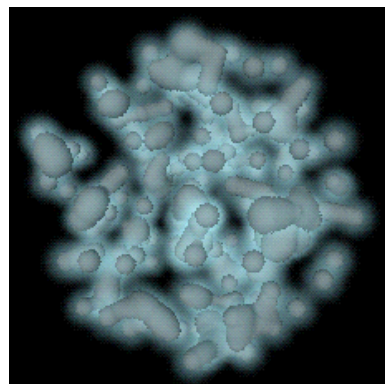
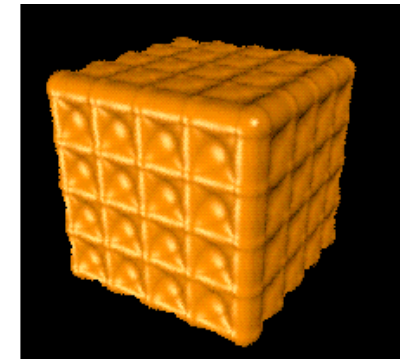
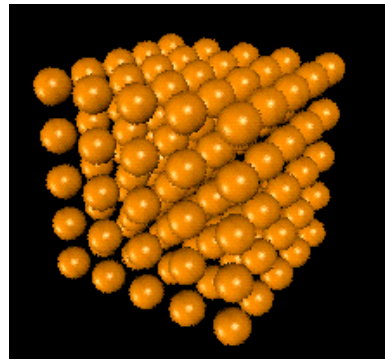
- Es gibt kein Standardverfahren
- Häufig:
 - Partikel als kleine Kreisscheibe (**Splat**, **Sprite**, **Billboard**) rendern
 - Meist mit Transparenz, die zum Rand abfällt
 - Benötigt Alpha-Blending!
- Alternative:
 - Farbe aller Partikel im Framebuffer akkumulieren (z.B. für Feuer)
 - Benötigt ca. 10 Partikel/Pixel





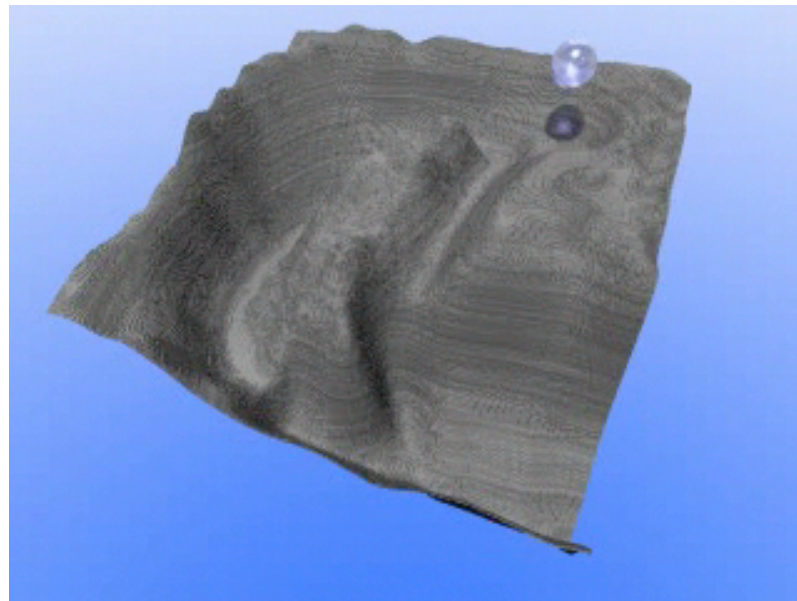
Rendering von "blobby objects"

- Betrachte Partikel als Metaballs
 - Zur Erinnerung (aus CG 1): Metaballs = spheres that blend together to form (implicit) surfaces
 - Rendering mittels Ray-Casting
 - Entweder: Nullstelle der impliziten Fläche suchen
 - Oder: "Dichte" entlang des gesamten Strahls aufsummieren und als Opazität oder Leuchtdichte interpretieren





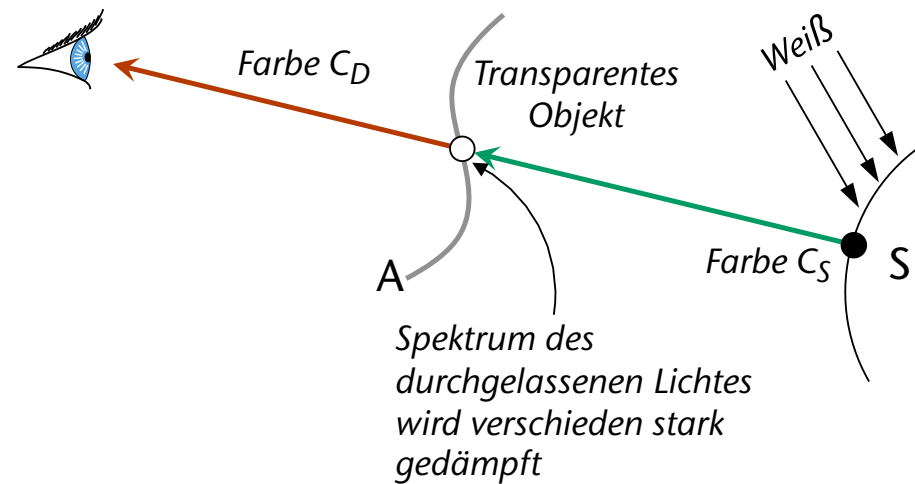
Beispiel





Rendering von transparenten Objekten

- Transparenz \approx Licht wird von einem Material teilweise durchgelassen, wobei verschiedene Wellenlängen verschieden stark gedämpft werden



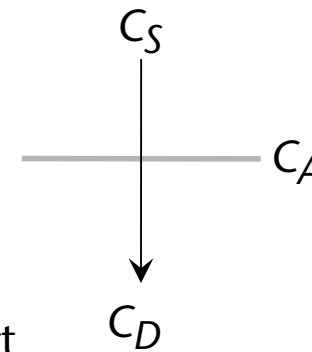
- Extremfall: Farbfilter



■ Approximation: Alpha-Blending

- $\alpha \in [0, 1]$ = Transparenz / Opacity
 - $\alpha = 0 \rightarrow$ komplett durchsichtig,
 - $\alpha = 1 \rightarrow$ komplett opak (opaque)
- Objekt A bekommt eine transparente "Farbe" C_A
- Resultat:

$$C_D = \alpha C_A + (1 - \alpha) C_S$$

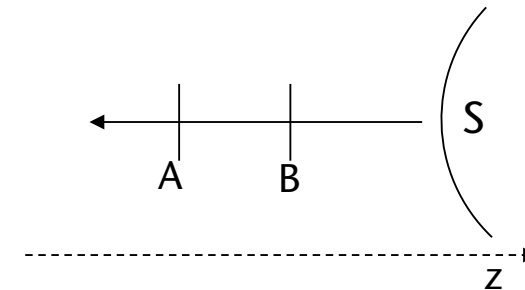


- α wird als 4-te Komponente in Farbvektoren gespeichert
- Beim Rendern führt die Graphikkarte folgende Operationen aus:
 - Color aus Framebuffer lesen $\rightarrow C_S$
 - Formel auswerten $\rightarrow C_D$
 - C_D in Framebuffer schreiben



- Achtung bei mehreren transparenten Objekten hintereinander!

- Erst A, dann B \rightarrow B wird durch z-Test gekillt
- Naive Idee: Z-Buffer abschalten
- Erst A dann B (ohne z-Test) ergibt:



$$C'_D = \alpha_A C_A + (1 - \alpha_A) C_S$$

$$C_D = \alpha_B C_B + (1 - \alpha_B) C'_D$$

$$= \alpha_B C_B + (1 - \alpha_B) \alpha_A C_A + (1 - \alpha_B) (1 - \alpha_A) C_S$$

- Erst B, dann A (ohne z-Test) ergibt:

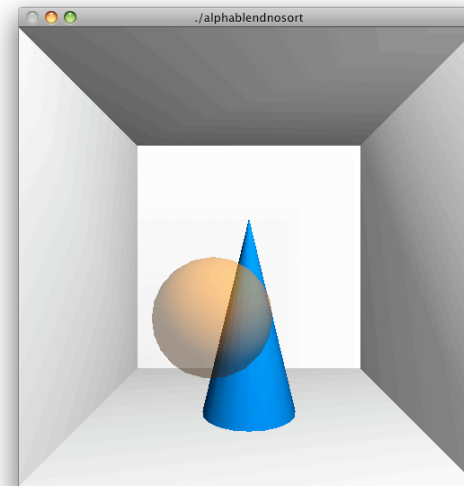
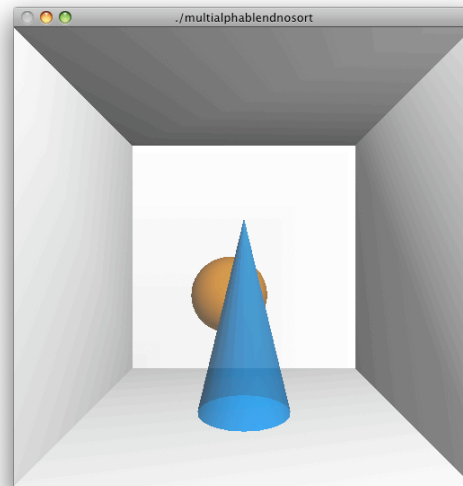
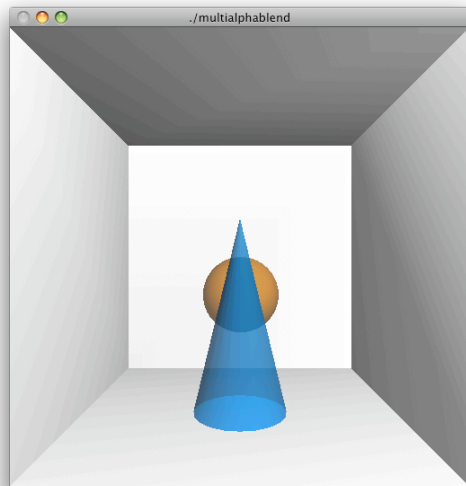
$$C'_D = \alpha_B C_B + (1 - \alpha_B) C_S$$

$$C_D = (1 - \alpha_A) \alpha_B C_B + \alpha_A C_A + (1 - \alpha_B) (1 - \alpha_A) C_S$$

- Fazit: **man muss die Polygone/Partikel von hinten nach vorne rendern**, selbst dann, wenn der Z-Buffer abgeschaltet wird!



■ Beispiele:



```
% cd VR/demos/alphablending; ./multialphablend; ./multialphablendnosort; ./alphanosortblend
```




- In Open GL:

- Einschalten mit:

```
glEnable( GL_BLEND );
```

- Blending-Funktion festlegen:

```
glBlendFunc( GLenum s, GLenum d );
```

`GL_SRC_ALPHA, GL_ONE_MINUS_SRC_ALPHA` →

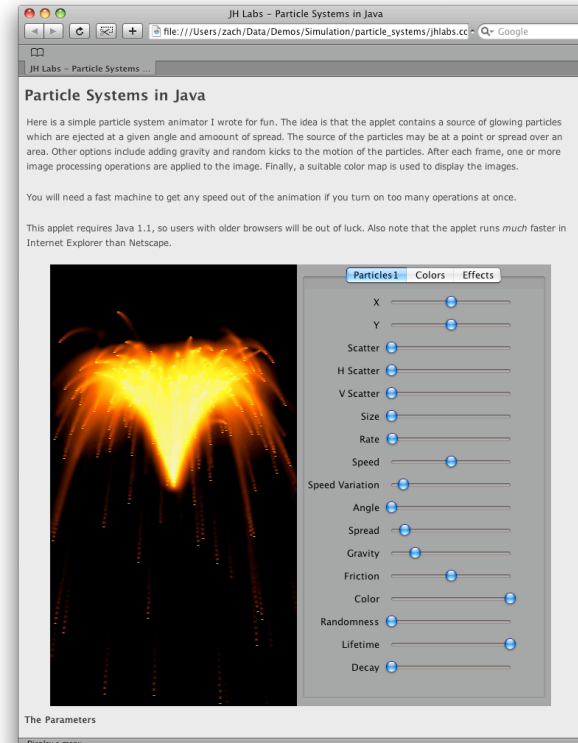
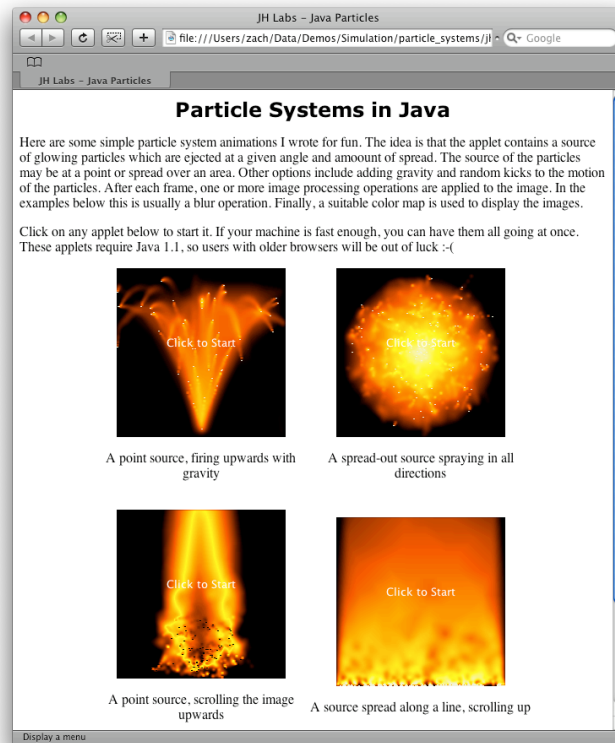
$$C'_D = \alpha C_A + (1 - \alpha) C_B$$

wobei C_D die Farbe aus dem Framebuffer ist;

- Es gibt noch viele andere Varianten, z.B. kann man damit die Farben auch einfach aufakkumulieren (`GL_ONE, GL_ONE`)



Partikel-Systeme-Demos



<http://www.jhlab.com/java/particles.html>



Flammen

[2002]



- Ziel:
 1. Glaubhaft aussehende Flammen
 2. Möglichst **volle Kontrolle** über die Flammen
- Das Modell:
 1. Einzelne Flammen (-elemente) durch parametrische Kurven modellieren → “spine” der Flamme
 2. Kontrollpunkte als Partikel simulieren
 3. Zylindrisches Profil um den Spine ergibt Oberfläche der Flamme (wo Oxidation = Verbrennen stattfindet)
 4. Der Raum in der Nähe der Oberfläche wird mit Partikeln gesampelt
 5. Rendern der Partikel (entweder volumetrisch, oder mit Alpha-Blending)
- Kontrollelemente:
 - Länge der Spines
 - Lebensdauer der Partikel
 - Intensität (=Anzahl Partikel), Quellen, Richtung, Wind, etc
 - Farbe und Größe der Partikel



- Generierung des *Spines*:

- Spine-Partikel P im ersten Frame generieren
- Dieses aufsteigen lassen (Auftrieb) und durch Wind bewegen:

$$\mathbf{v}_P^{t+1} = \mathbf{v}_P^t + w(\mathbf{x}_P, t) + b(T_P) + d(T_P)$$

wobei

w = Windfeld

b = Auftrieb

d = Diffusion = Rauschen;

T_P = Temperatur des Partikels = Alter

(Vereinfachung hier: Partikel haben keine Masse)

- In Folge-Frames weitere solche Partikel generieren, bis Max.-Anzahl für ein Spine erreicht
- Spine-Partikel durch B-Spline verbinden

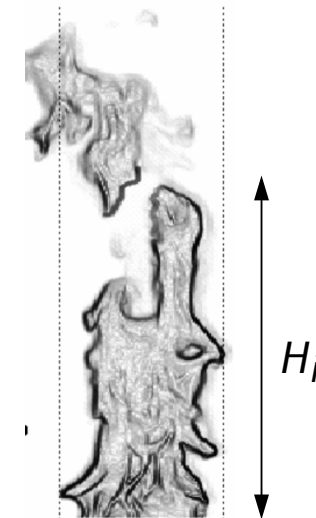


- **Aufbrechen von Flammen-Elementen:**

- Das obere Stück des Spines wird zu einem zufälligen Zeitpunkt abgetrennt, wenn Höhe $> H_i$
- Lebensdauer nach der Abtrennung:

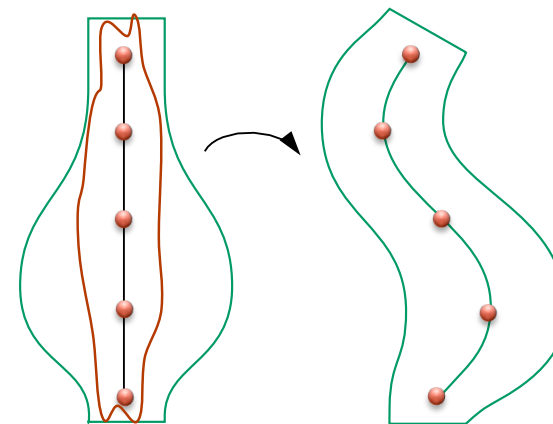
$$A \cdot \alpha^3, \quad \alpha \in [0, 1] \text{ zufällig}$$

$$A = 0.1 \dots 2 \text{ sec}$$



- **Das Profil der Flamme:**

- Rotationssymmetrisch um den Spine herum





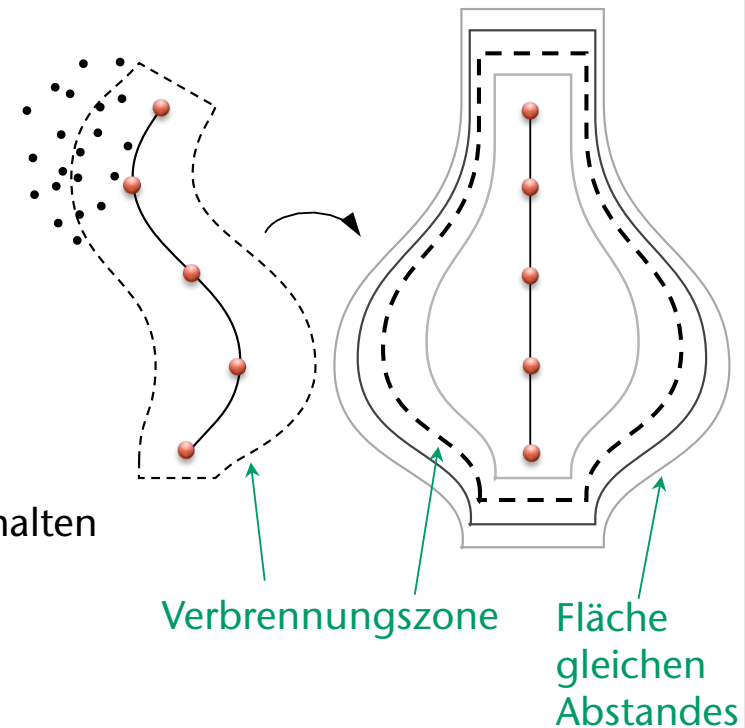
■ Rendering:

- Raum um die Flamme durch eine große Menge von Punkten sampeln gemäß der Dichtefunktion

$$D(\mathbf{x}) = \frac{1}{1 + \|\mathbf{x} - \mathbf{x}'\|}$$

wobei \mathbf{x}' der Punkt auf der (deformierten) Profilfläche ist, der zu \mathbf{x} am nächsten ist:

- Zufälliges \mathbf{x} erzeugen
 - Transformieren in Modellraum
 - \mathbf{x}' bestimmen
 - D auswerten
 - Falls $D(\mathbf{x}) > \text{Zufallszahl}$ → Sample \mathbf{x} behalten
- Lege Referenzfoto als Textur auf die Profilfläche → Basisfarbe für \mathbf{x}





- Helligkeit eines Samples an Position \mathbf{x} :

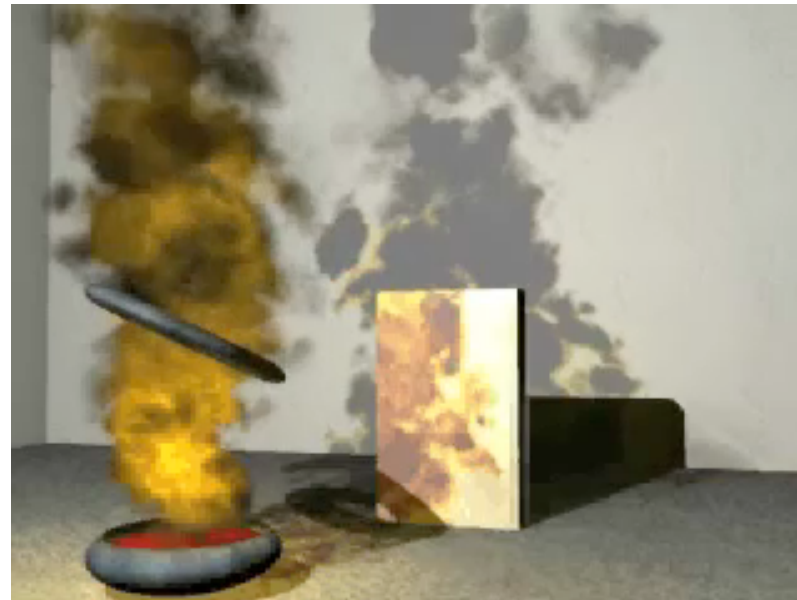
$$E(\mathbf{x}) = k \frac{D(\mathbf{x})}{n}$$

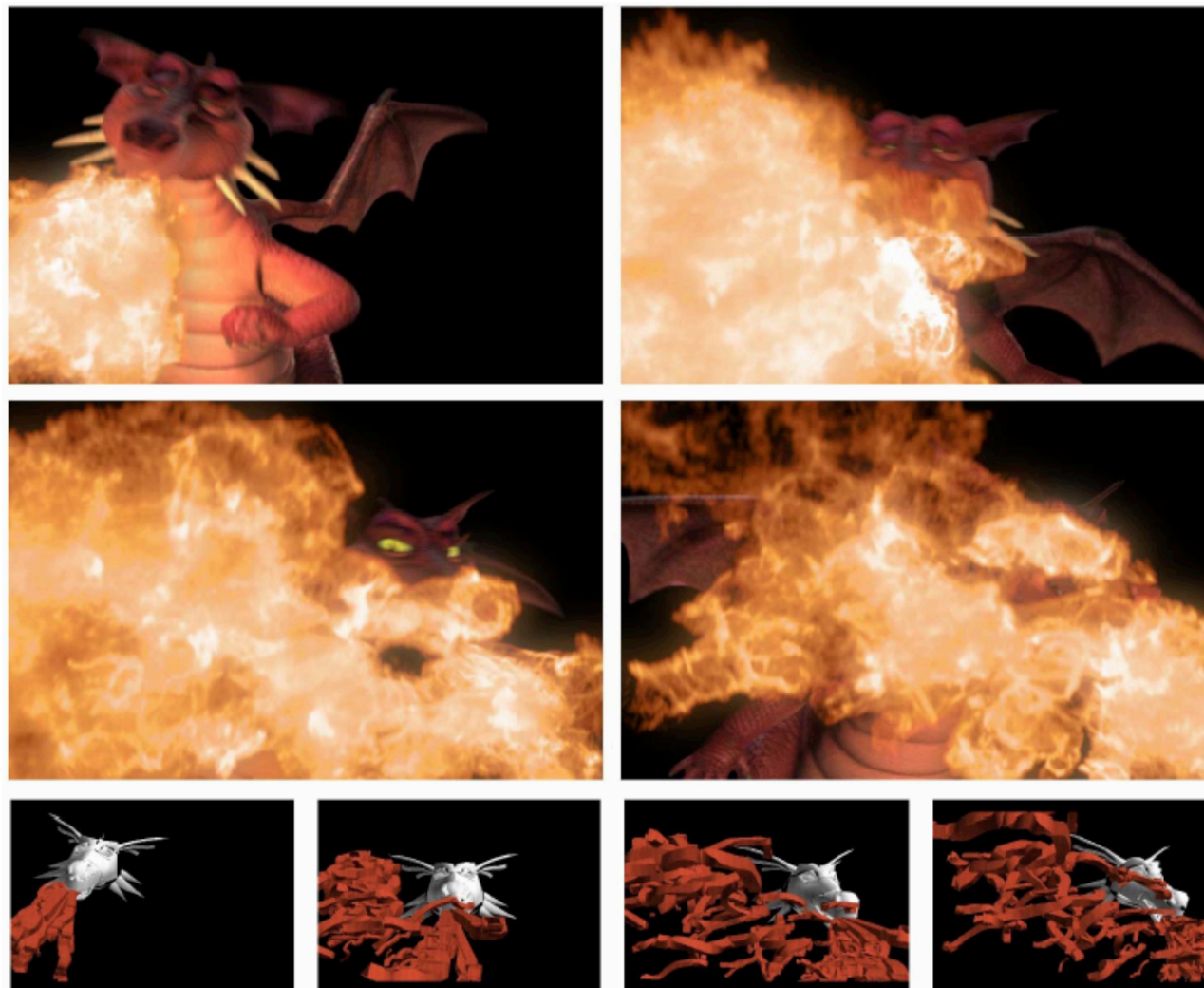
wobei k = Faktor zur Kontrolle, n = Anzahl Samples

- Anzahl: ca. 10 Samples pro Pixel, ca 10,000 Samples pro Flamme
- Samples im Inneren von anderen Objekten werden verworfen
- Rauch: Samples > "Rauchhöhe" werden grau/schwarz gerendert



Results





Arnauld Lamorlette and Nick Foster, PDI/DreamWorks





Exkurs: Procedural Modeling of Plants with Particles



- Idee: verwende Partikel, um den Transport von Flüssigkeit in einem Blatt zu simulieren
 - Bahnen der Partikel ergeben die Adern
- Axiome:
 1. Die Natur versucht, die Länge der Bahnen zu minimieren
 - Partikel versuchen, sich auf gemeinsamen Bahnen zu bewegen
 2. Es geht keine Flüssigkeit verloren oder kommt hinzu
 - Wenn 2 Partikel eine gemeinsame Bahn verfolgen, muss die Ader dort doppelt so dick sein
 3. Alle Bahnen gehen vom Blattstiel aus



- Übersicht des Algorithmus:

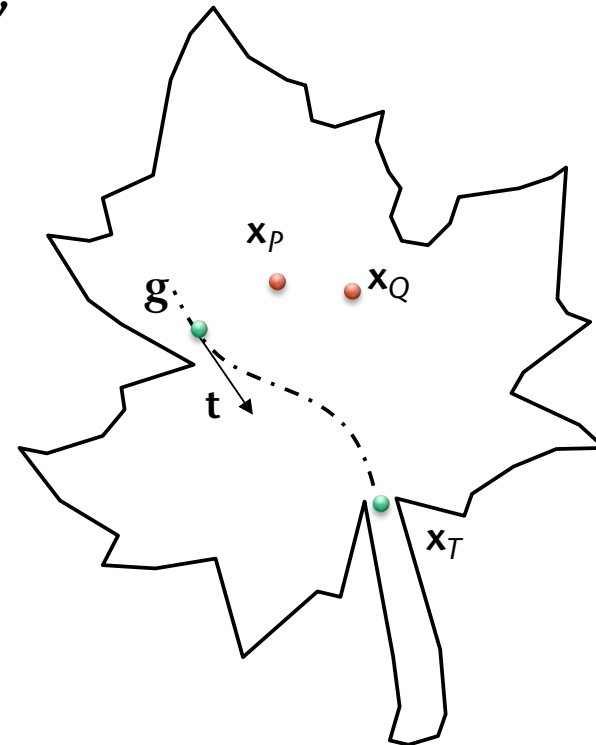
```
plaziere Partikel zufällig auf der Oberfläche des Blattes
loop bis kein Partikel übrig:
    bewege jedes Partikel in Richtung seines nächsten
        Nachbarn oder der nächsten schon existierenden Bahn,
        und in Richtung des Blattstiels
    falls Partikel bei Blattstiel angekommen ist:
        lösche dieses Partikel
    falls zwei Partikel einander "nahe genug" sind:
        verschmelze beide zu einem Partikel
```



Zur Bewegung der Partikel

■ Seien

- \mathbf{x}_P = aktuelle Position des Partikels P ,
- \mathbf{x}_T = Position des Ziels (Blattstiel),
- \mathbf{g} = nächster Punkt zu \mathbf{x}_P auf einer Bahn,
- \mathbf{t} = Tangente in \mathbf{g} (normiert),
- \mathbf{x}_Q = nächstes Partikel zu P



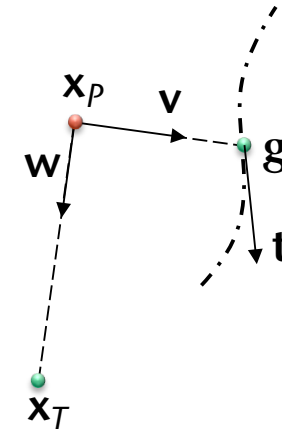


- Falls $\|\mathbf{x}_P - \mathbf{g}\| < \|\mathbf{x}_P - \mathbf{x}_Q\|$:

- Setze:

$$\mathbf{v} = \frac{\mathbf{g} - \mathbf{x}_P}{\|\mathbf{g} - \mathbf{x}_P\|}$$

$$\mathbf{w} = \frac{\mathbf{x}_T - \mathbf{x}_P}{\|\mathbf{x}_T - \mathbf{x}_P\|}$$



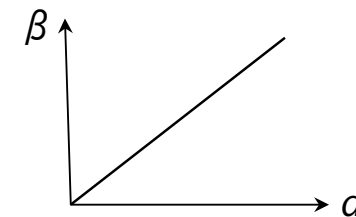
- Neue Position:

$$\mathbf{x}'_P = \mathbf{x}_P + \alpha \mathbf{w} + (1 - \alpha) (\beta \mathbf{v} + (1 - \beta) \mathbf{t})$$

wobei

$$\beta = \beta (\|\mathbf{x}_P - \mathbf{g}\|)$$

- Ein (ungefähr) lineares β ergibt z.B. Partikelbahnen, die in der Nähe der bestehenden Bahn tangential dazu verlaufen, weiter weg senkrecht darauf zu





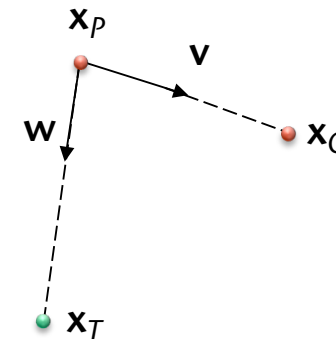
- Sonst ($\|\mathbf{x}_P - \mathbf{x}_Q\| < \|\mathbf{x}_P - \mathbf{g}\|$):

- Setze

$$\mathbf{v} = \frac{\mathbf{x}_Q - \mathbf{x}_P}{\|\mathbf{x}_Q - \mathbf{x}_P\|}$$

- Neue Position:

$$\mathbf{x}' = \mathbf{x}_P + \gamma \mathbf{v} + (1 - \gamma) \mathbf{w}$$



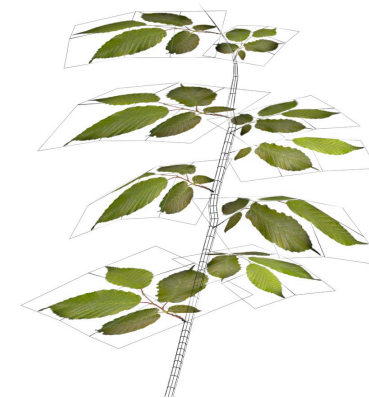
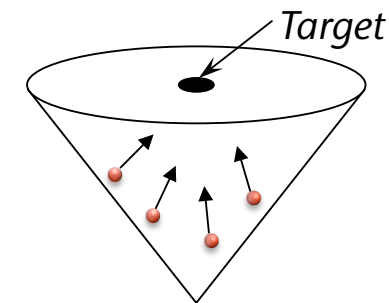
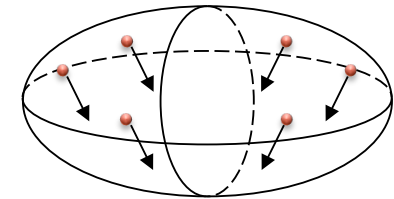
- Dicke der Adern:

- Jedes Partikel hat Größe = Betrag der Querschnittsfläche der Ader
- Zu Beginn: alle Partikel haben Einheitsgröße
- Bei Verschmelzen: Größen addieren
- Bei Auftreffen auf bestehende Bahn: Größe des Partikels zu Größe des Querschnitts der Bahn ab dem Auftreffpunkt bis zum Ziel dazuzaddieren



Modellierung von Bäumen

- Funktioniert genau gleich
- Vorgabe: Geometrie für die initialen Positionen der Partikel
 - Nur Hüllgeometrie
 - Erzeuge Partikel darin mittels stochastischem Prozeß
- Geometrie der Zweige: verbinde Kreisscheiben, die senkrecht zur Bahn entlang der Bahn plaziert werden
 - "sweep a disk along the path"
- Zweig-Primitive an die Äste setzen:





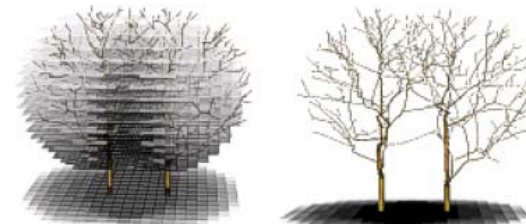
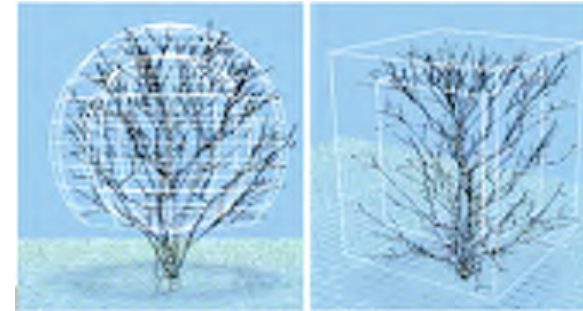
- Beispiel-Ablauf:





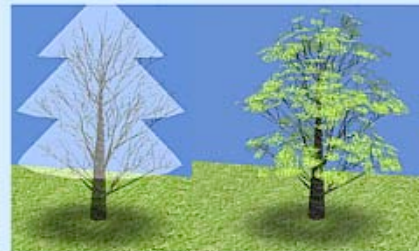
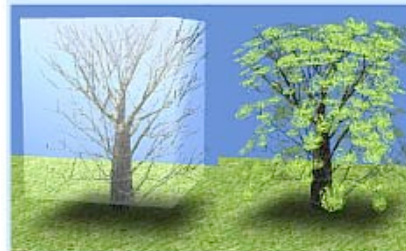
Berücksichtigung der Lichtverhältnisse

- Beobachtung: Stellen mit weniger Licht haben weniger Zweige / Blätter
- Lässt sich relativ einfach modellieren:
 - Lege den Baum in ein Gitter
 - Approximiere die (noch nicht existierende) Blätterschicht durch eine Kugel- oder Würfelschale
 - Berechne Lichteinfall für jeden Gitterknoten durch die Schale hindurch (ray casting)
 - Bei der Partikelerzeugung: passe Wahrscheinlichkeit einer Erzeugung dem Lichteinfall an (trilinear interpolieren)





Beispiele

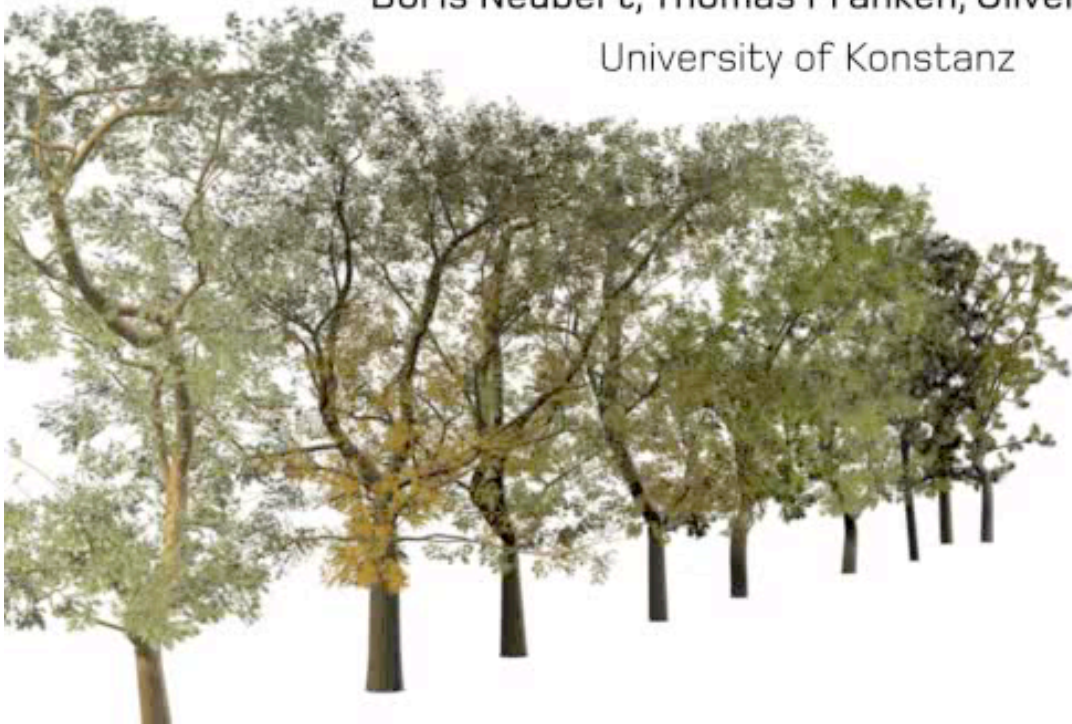






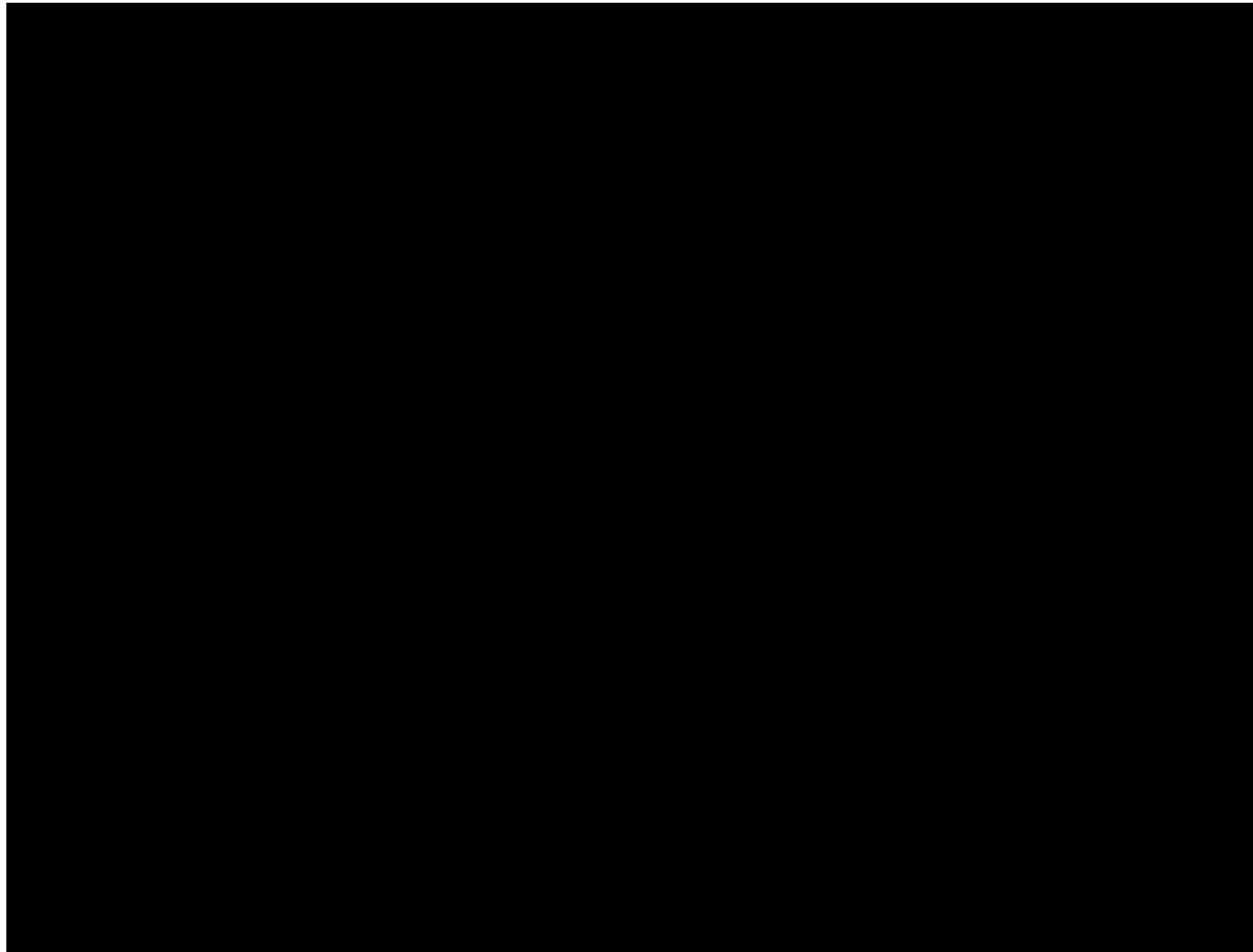
Approximate Image-Based Tree Modeling using Particle Flows

Boris Neubert, Thomas Franken, Oliver Deussen
University of Konstanz





Historischer Video



Andre and Wally B (Pixar)